

УДК 57.045+ 947:940.1

## ПРИМЕНЕНИЕ КЕДРА СИБИРСКОГО С ЦЕЛЬЮ РЕКОНСТРУКЦИИ КЛИМАТА И ГЕОМОРФОЛОГИЧЕСКИХ СОБЫТИЙ НА АЛТАЕ\*

© 2013 г. А. Н. Назаров, В.С. Мыглан

*Сибирский федеральный университет*

Поступила в редакцию 18.10.2011 г.

В статье рассматриваются результаты исследования синхронности прироста кедра сибирского на территории Центрального Алтая и функции его отклика на среднемесячные температуры периода вегетации, приводятся примеры реконструкции геоморфологических событий с использованием хронологий кедра.

**Введение.** Дендрохронология, как метод индикации, основана на зависимости радиального прироста и ряда других характеристик деревьев от изменений условий внешней среды. Как правило, в целях дендроиндикации используется анализ ширины годичных колец деревьев, произрастающих на пределе своего ареала (например, северная или верхняя граница распространения). При наличии репрезентативной выборки, использование данного метода позволяет не только проводить соответствующие реконструкции, но и определять время событий, связанных с их гибелью, травмированием и захоронением. В археологии датированию подвергаются, как правило, погребальные сооружения и наземные постройки различного типа; в геоморфологии: сели, камнепады, лавины, наступление горных ледников и т.п.

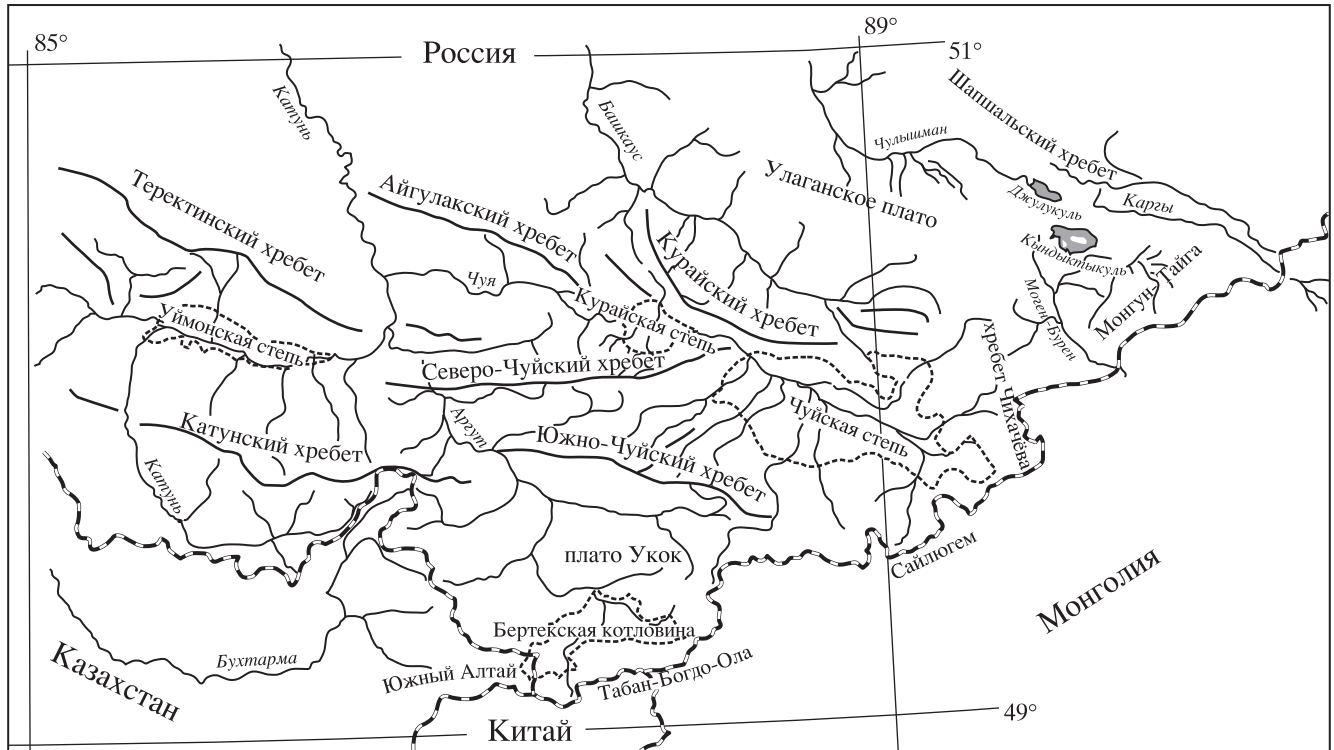
В горах Центрального Алтая развитие леса по вертикали определяется температурой периода вегетации. Вопреки устоявшемуся мнению, о повышении границы леса в направлении с севера на юг [23], в пределах Центрального и Восточного Алтая не выявлено никаких принципиальных различий в ее высотном положении. Повсеместно участки спелых лесов ограничены высотами 2220–2330 м, а отдельные деревья и молодой подрост при благоприятных условиях встречаются вплоть до 2500 м. В южных и юго-восточных районах на развитие леса существенно влияет некоторый дефицит осадков, их локальное перераспределение, экспозиция склона и наличие грунтовых вод, час-

то связанное с очагами мерзлоты. Это приводит к исчезновению кедра из состава лесообразующих пород верхней границы леса, где получает распространение исключительно лиственница сибирская (северный макросклон Южно-Чуйского хребта, северное обрамление плато Укок, массив Монгун-Тайга). В тоже время, в пределах Катунского и Северо-Чуйского хребтов, кедр достигает верхних пределов распространения наряду с лиственицей.

Объектом дендрохронологических исследований на Алтае традиционно служила лиственница сибирская, как порода наиболее чувствительная к изменениям летней температуры [8, 1, 2, 18, 17]. Работы, посвященные экологическим условиям роста кедра, появились значительно позднее [5, 6, 3], причем, отбор образцов происходил только в двух точках: на склонах горы Сарлык (Северо-западный Алтай, Семинский хребет) и в долине Актуру (Центральный Алтай, Северо-Чуйский хребет).

Датирование древесных остатков, включенных в ледниковые отложения, было впервые проведено в упомянутой работе М.Ф. Адаменко и А.А. Сюбаева [1]. Также, широкое распространение получила дендроиндикация многолетнего режима лавин [13, 19, 22, 12]. Н.И. Быковым [4] дендрохронология применялась уже более широко для определения времени схода селей, обвалов и наступления ледника Малый Актру. Однако до настоящего времени геоморфологические исследования с использованием дендрохронологии на Алтае носят эпизодический характер и не получили должного распространения, главным обра-

\* Работа выполнена при поддержке АВЦП № 2.1.1/6131, Грант Президента РФ № МК-1675.2011.6.



**Рис. 1.** Положение района исследований. Алтае-Саянская горная страна занимает трансграничную территорию юга Сибири, включая хребты, отходящие на территорию Казахстана, Китая и Монголии [21]. Исследования проводились в районе Северо-Чуйского и Катунского хребтов.

зом, в связи со слабой информированности геоморфологов о возможностях дендрохронологии. По этой причине, в нашей работе, помимо оценки климатической чувствительности кедра сибирского, приводятся результаты, показывающие большой потенциал дендродатирования в горах Центрального Алтая.

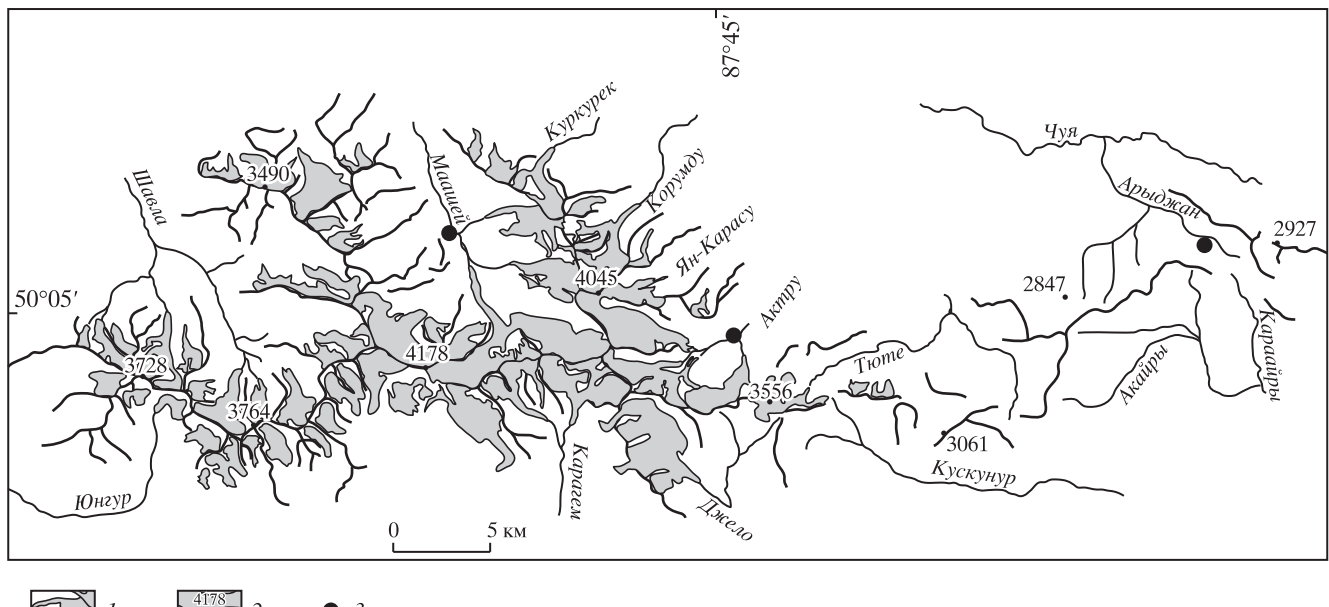
**Материалы и методы.** Центральный Алтай занимает срединное положение на стыке четырех государств: России, Казахстана, Китая и Монголии (рис. 1). В его состав входят хребты: Теректинский и Северо-Чуйский (северная ветвь), Катунский и Южно-Чуйский (южная ветвь) и хребет Листвяг (западная оконечность) [20]. Катунский хребет разделяет подходящие с запада и юго-запада воздушные массы на два основных потока, главный из которых – южный – приурочен к долине верхней Катуни, а северный направляется вдоль северного макросклона Катунского хребта, и под его воздействием оказываются Теректинский и Северо-Чуйский хребты [16].

Отбор кернов проводился в трех долинах, охватывающих северный макросклон Северо-Чуйского хребта (рис. 2), а также в долине р. Аккем, находящейся в осевой части Катунского хребта (рис. 3). Керны отбирались с живых и погибших деревьев по двум радиусам в пределах массивов

взрослого кедрового леса, который в долях Маашей, Аккем и Арыджан (рис. 2, 3) ограничен предельными высотами 2100–2200 мабс. выс., а в долине Актуру – 2200–2330 м (рис. 4).

Измерения ширины годичных колец выполнялись на полуавтоматической установке LINTAB с точностью 0.01 мм. Серии датировались сочетанием графической перекрестной датировки и кросс-корреляционного анализа в пакете специализированных программ для дендрохронологических исследований –DPL [27] и TSAPV3.5 [28]. Возрастной тренд был удален с использованием негативной экспоненты и линейной регрессии в программе ARSTAN [25] с индивидуальным контролем каждой серии.

Качество каждой из хронологий оценивалось на основе традиционных дендрохронологических показателей. Показатель EPS характеризует чувствительность древесно-кольцевых хронологий (ДКХ) к изменению внешних факторов, в зависимости от количества анализируемых образцов, а также показывает, как конкретная ограниченная выборка отражает сигнал популяции или генеральной совокупности; RBAR отражает среднее значение коэффициента корреляции между отдельными сериями [29, 24].



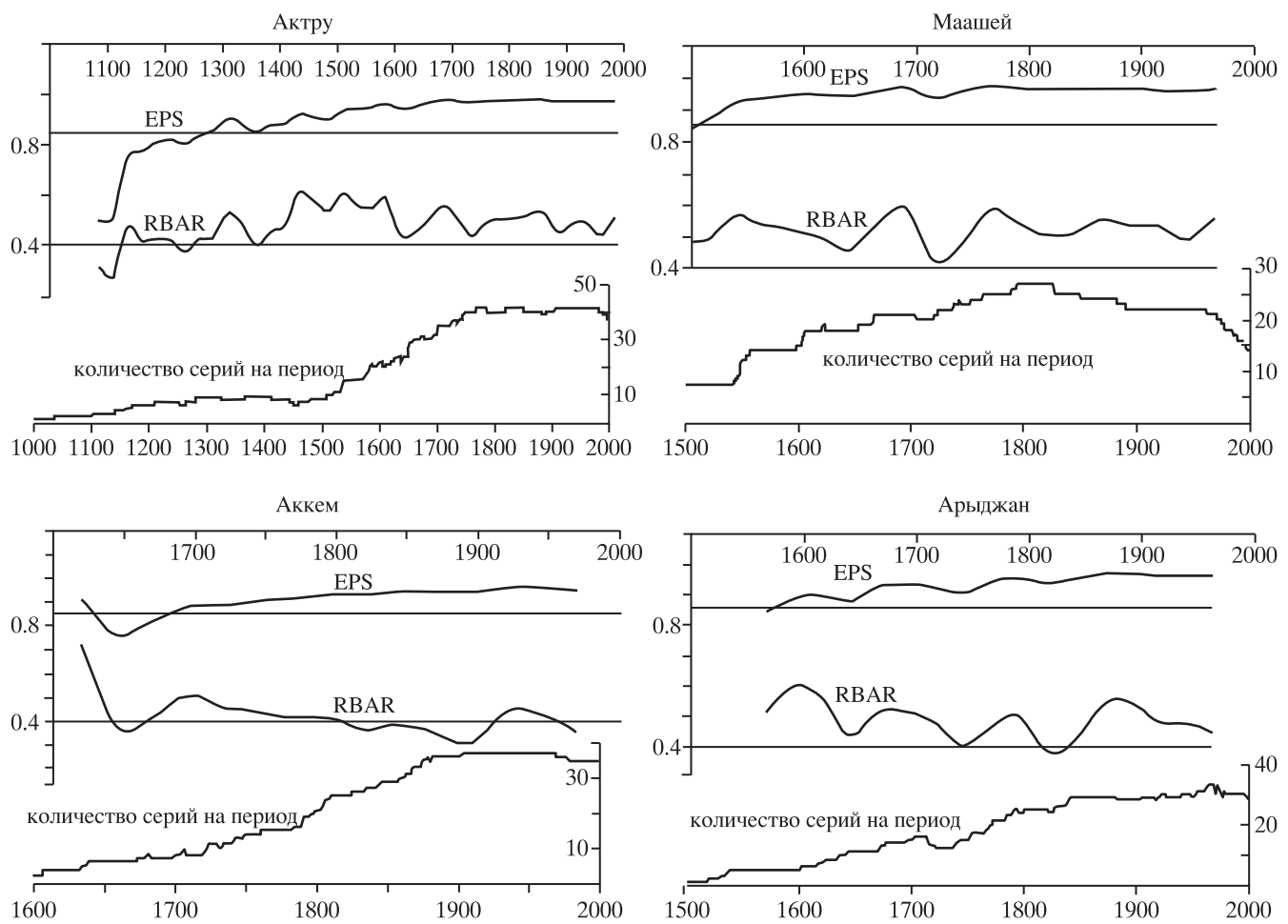
**Рис. 2.** Орографическая схема Северо-Чуйского хребта с указанием мест отбора образцов на дендрохронологический анализ. Условные обозначения:  
1 – ледники; 2 – осевые части хребтов с указанием абсолютных высот; 3 – места отбора образцов.



**Рис. 3.** Орографическая схема центральной части Катунского хребта. Условные обозначения аналогичны рис. 2.



**Рис. 4.** Предполья ледников Малый и Большой Актуру, с указанием мест отбора образцов. Цифрами обозначены: 1 – участок леса (кедровая площадка), сохранившийся между двух ледников в максимум стадии Актуру (около 1700 г. н.э., обоснование даты ниже по тексту); 2 – участок леса, сохранившийся перед фронтом основного языка Малого Актуру; 3 – участок леса перед крайней правой частью морены Малого Актуру (пульсация конца XVIII в., обоснование даты ниже по тексту); 4, 5 – бровки морен соответствующих ледников.



**Рис. 5.** Статистические характеристики хронологий *Pinus Sibirica* Центрального Алтая. В показателях EPS и RBAR сохранена соответствующая размерность единиц.

**Таблица 1.** Коэффициенты корреляции между среднемесячными показателями температуры и их суммой и ежегодным приростом кедра сибирского.

Месяцы и станции	Актруstd	Актруres	Аккемstd	Аккемres	Арыджанstd	Арыджанres	Маашейstd	Маашейres
VI_Akk	0.22	<b>0.35</b>	-0.19	0.19	-0.22	-0.03	-0.29	-0.13
VII_Akk	<b>0.31</b>	0.26	0.01	-0.06	0.24	0.09	0.27	0.13
VIII_Akk	0.23	<b>0.36</b>	<b>0.41</b>	<b>0.36</b>	<b>0.40</b>	<b>0.37</b>	<b>0.34</b>	<b>0.32</b>
V-VII_Akk	<b>0.47</b>	<b>0.53</b>	-0.11	0.12	0.05	0.16	0.01	0.04
VI-VII_Akk	<b>0.36</b>	<b>0.42</b>	-0.13	0.10	0.00	0.04	-0.03	0.00
VI_Kara-t	0.13	0.21	-0.04	0.03	0.01	0.04	-0.08	-0.15
VII_Kara-t	0.26	0.27	0.21	0.13	0.21	0.08	<b>0.30</b>	0.17
VIII_Kara-t	0.03	0.12	0.23	0.14	0.23	0.19	0.24	0.13
V-VII_Kara-t	0.26	0.28	-0.04	-0.01	0.08	0.04	0.03	-0.11
VI-VII_Kara-t	0.25	<b>0.31</b>	0.12	0.11	0.15	0.08	0.14	0.01
VI_Akt	0.17	0.25	-0.25	0.18	-0.30	-0.18	<b>-0.35</b>	-0.21
VII_Akt	<b>0.31</b>	0.21	-0.15	-0.13	0.11	-0.01	0.16	0.04
VIII_Akt	0.19	0.26	0.24	0.25	0.23	0.24	0.19	0.19
V-VII_Akt	<b>0.50</b>	<b>0.32</b>	-0.25	0.12	-0.08	-0.04	-0.09	-0.07
VI-VII_Akt	<b>0.31</b>	<b>0.32</b>	-0.28	0.08	-0.19	-0.16	-0.19	-0.16

Примечания: Akk – метеостанция Аккем (длина выборки 35 лет); Kara-t – метеостанция Кара-Тюрек (длина выборки 66 лет); Akt – метеостанция – Актру (длина выборки 37 лет); std – хронологии индексированные по негативной экспоненте без снятия автокорреляционного тренда; res – индексированные хронологии со снятым трендом автокорреляции. Жирным шрифтом выделены коэффициенты выше (ниже) 0.30.

**Таблица 2.** Коэффициенты корреляции хронологий кедра между собой и с хронологией Монгун-Тайги [14].

	Актруstd	Актруres	Аккемstd	Аккемres	Арыджанstd	Арыджанres	Маашейstd	Маашейres
Актруstd	1.00		<b>0.53</b>	<b>0.43</b>	<b>0.40</b>	0.32	<b>0.46</b>	0.33
Актруres		1.00	<b>0.44</b>	<b>0.70</b>	<b>0.46</b>	<b>0.58</b>	<b>0.50</b>	<b>0.60</b>
Аккемstd			1.00		<b>0.54</b>	<b>0.46</b>	<b>0.60</b>	<b>0.52</b>
Аккемres				1.00	<b>0.40</b>	<b>0.57</b>	<b>0.52</b>	<b>0.70</b>
Арыджанstd					1.00		<b>0.63</b>	<b>0.53</b>
Арыджанres						1.00	<b>0.57</b>	<b>0.71</b>
Монгун-Тайга_std	<b>0.44</b>	<b>0.41</b>	0.26	0.25	0.18	0.16	0.13	0.15
Монгун-Тайга_res	0.31	<b>0.49</b>	0.16	0.26	0.18	0.23	0.14	0.21

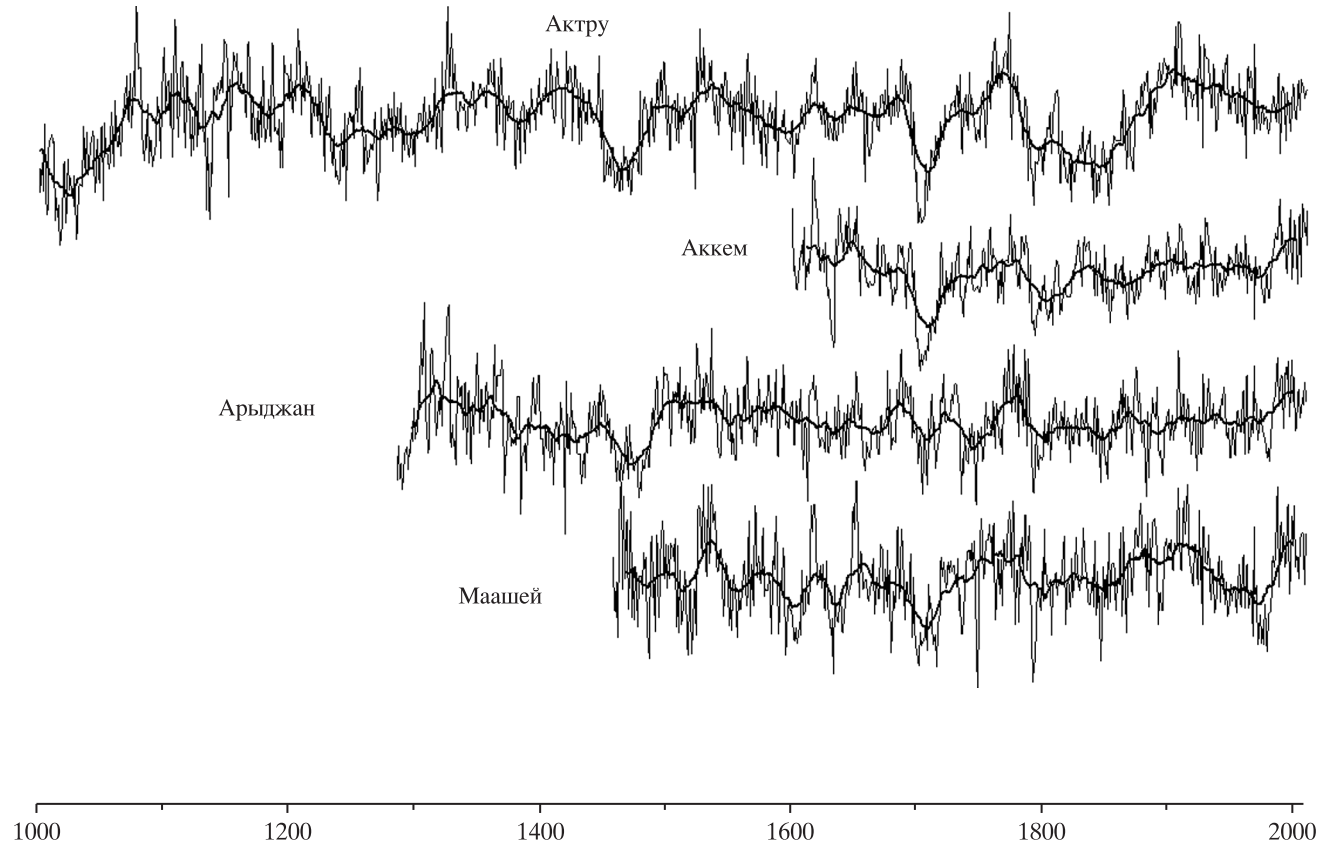
Примечание: обозначения std и res – аналогичны таковым в табл. 1. Жирным шрифтом выделены коэффициенты выше 0.40.

Функция отклика древесно-кольцевых хронологий, оценивалась по среднемесячным показателям температуры метеостанций Аккем (2045 м) и Актру (2120 м), расположенных в соответствующих долинах вблизи верхней границы леса, а также метеостанции Кара-Тюрек (2600 м), находящейся на водоразделе бассейнов рек Аккема и Кучерлы (рис. 3), на 200 м выше границы молодого лиственничного подроста.

**Результаты и обсуждение.** Статистические характеристики хронологий со снятой автокорреляцией приведены на рис. 5. Наиболее продолжительная хронология Актру, пригодна для рекон-

струкций на промежутке времени около 500 лет (более 10 серий на период при показателе EPS не ниже 0.85). Затем следуют хронологии Маашей и Арыджан – около 400 лет. Хронология Аккем удовлетворяет необходимым требованиям на промежутке 250 лет.

Анализ связи среднемесячных температур с шириной годичного кольца демонстрирует наличие достаточно слабой связи, хотя, в некоторых случаях она выше значимой (табл. 1). Аналогичные данные получены в ряде предшествующих работ [6, 3, 26]. Принимая во внимание, что связь ежегодного прироста лиственницы и июнь-июль-



**Рис. 6.** Индексы прироста кедра сибирского в горных долинах Центрального Алтая. Представлены стандартизованные по негативной экспоненте хронологии без снятия автокорреляционного тренда. Тонкая линия – ежегодный прирост, жирная линия – сглаженное 22-х летнее.

ских температур значительно выше [17, 14], проведение температурных реконструкций по кедру, в большинстве случаев – нецелесообразно.

Сравнение хронологий кедра между собой (табл. 2) на общем для них промежутке (300 лет) убедительно свидетельствует об однородной реакции на климат и о синхронности прироста годичных колец даже в значительно удаленных друг от друга районах (расстояние Аккем – Маашей равно 80 км, Аккем – Арыджан – 116 км).

Корреляционный анализ хронологий кедра и лиственницы (хронология Монгун-Тайга, табл. 2), показывает наличие лишь слабой связи, исключая долину Актру, где кедр произрастает на максимальных высотах. Тем не менее, многочисленные попытки датирования кедра из долин Шавлы, Маашея, Корумду, Актру (рис. 2) по лиственнице подножия массива Монгун-Тайга [14] (расстояние 150–180 км), в 50% случаев оказываются удачными, что еще раз подтверждает однородность района в климатическом отношении.

Графическое сопоставление индексов прироста показывает согласованность их хода на обозримом промежутке времени и качественно

фиксирует важнейшие климатические события прошедшего тысячелетия: периоды похолодания во второй половине XV в., в начале XVIII в., первой половине XIX в. (рис. 6).

Кроме долины Актру, непосредственно в приледниковые, взрослый кедровый лес не достигает отметок близких к термическому минимуму произрастания, будучи окончательно вытесненным с этих позиций во время максимума стадии Актру (название дано Л.Н. Ивановским и В.А. Панычевым [9]). К этому выводу приводит то обстоятельство, что в ледниковых отложениях и по периферии молодых морен остатки кедра встречаются наряду с лиственницей. В отмеченных выше работах предшественников (см. введение) датирование геоморфологических событий проводилось почти исключительно по древесине *Larix sibirica*, при этом большой пласт информации оставался не востребованным. Создание длительных хронологий по кедру, несомненно, восполнит отмеченный недостаток.

Важнейшим результатом является попытка датирования максимума стадии Актру, поскольку, несмотря на большое количество публикаций,

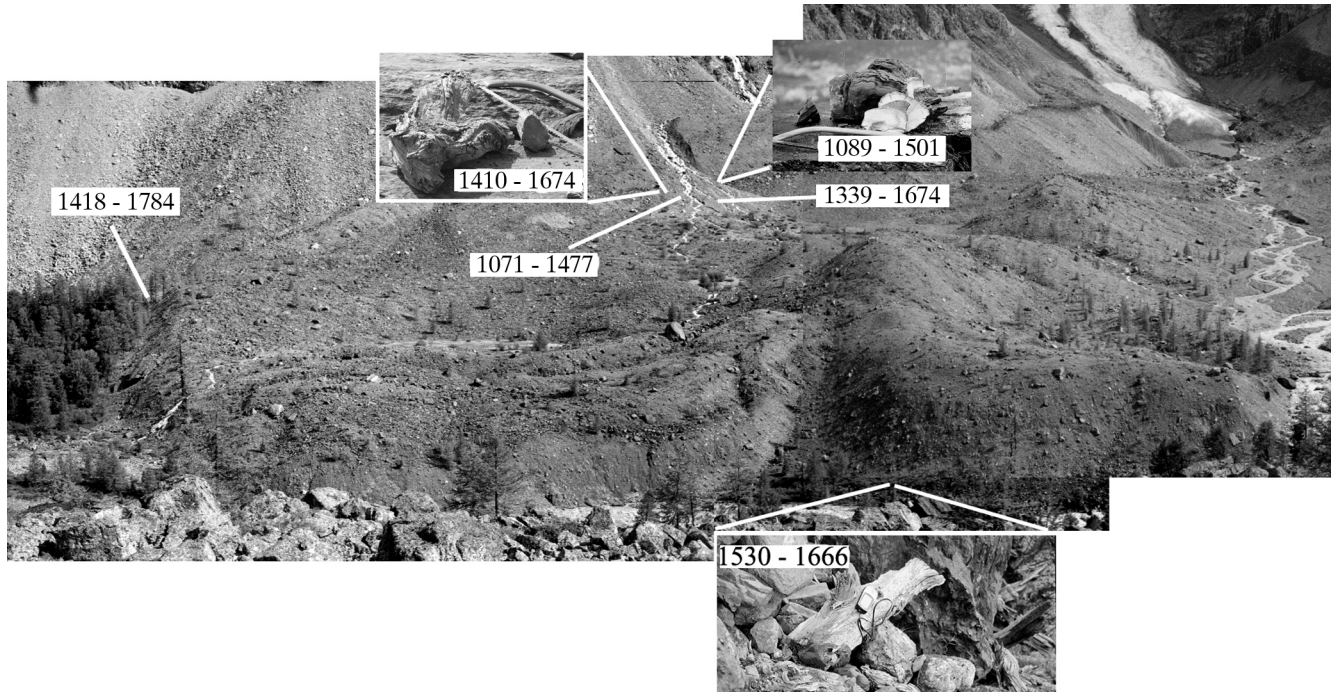


Рис. 7. Предполья ледника Малый Актру с указанием мест находок погребённой древесины и ее возраста.

посвященных этому вопросу, он остается открытым до настоящего времени. Впервые радиоуглеродное датирование погребённых в стадию Актру деревьев было проведено на моренах ледников Малый и Большой Актру [9, 10]. Результаты датирования не были однозначными, тем не менее, основываясь на своих выводах, авторы устанавливают период формирования моренного комплекса Малого Актру с конца XVI или начала XVII веков до середины XIX века. Повторная попытка была предпринята нами [7]. Развитие горного оледенения, близкое к максимуму, было отмечено с конца XIII в. (у крупных ледников) вплоть до конца XV в. (у менее крупных).

Даты радиоуглеродного датирования, как в первом, так и во втором случае, принципиально отличаются от дендрохронологических дат, полученных М.Ф. Адаменко и А.А. Сюбаевым [1], а впоследствии и Н.И. Быковым [4]. Указанные авторы однозначно определяют время гибели лиственниц в крайней правой части морены Малого Актру концом XVIII-го – началом XIX-го веков, та же дата получена и нами (1784 г.), при повторном датировании дерева исследованного Н.И. Быковым [4]. Возникшее противоречие, до недавнего времени не могло быть разрешено по причине отсутствия погребенной древесины. Однако, анализ образцов, обнаруженных в 2008–2010 гг., привел к неожиданному результату.

Наиболее показательны находки на предпольях ледника Малый Актру. На правом внутреннем

склоне молодой морены в русле ручья Водопадный найдены многочисленные фрагменты древесины кедра, некоторые из которых оказалось возможным датировать как по содержанию C14, так и дендрохронологическим методом (рис. 7). Получен следующий возраст спилов: 1071–1477 гг. н.э. ( $743 \pm 55$  или 1265 г.н.э. – 78.9%), либо ( $638 \pm 30$  или 1370 г.н.э. – 16.5%), СОАН 7380<sup>1</sup>; 1410–1674 гг. н.э. ( $738 \pm 50$  или 1270 г.н.э. – 75.3%), либо ( $638 \pm 20$  или 1370 г.н.э. – 20.1%), СОАН 7382; 1089–1501 гг. н.э.; 1339–1674 гг. н.э. У подножия фронта левой лопасти морены полууприваленный ствол кедра датирован 1530–1666 гг. н.э. ( $549 \pm 72$  или 1459 г., СОАН 6471). В соседней с Актру долине ледника Маашей у подножия правой части молодой морены найдена лиственница возрастом: 1206–1667 гг. н.э. ( $415 \pm 105$  или 1535 г.н.э., ИГАН 3886). В истоках левого притока р. Шавла (ледник № 27, по Каталог ..., 1977), в 50 м отвала молодой морены датированы два молодых кедра, высохших на корню: 1591–1734 гг. н.э. ( $420 \pm 120$  или 1530 г., СОАН 6460) и 1637–1736 гг. н.э. ( $490 \pm 60$  или 1460 г., СОАН 6461). Таким образом, основываясь на данных дендрохронологии, уже не позднее начала XI в. предполья ледников Северо-Чуйского хребта заселены кедровым лесом, а их активность вплоть до конца XVII-го

<sup>1</sup> Здесь и далее данные представлены в календарном виде от 1950 г. Калибровка радиоуглеродного возраста проводилась в программе Oxcal 3.10.

века проявляется не значительно (по крайней мере, это не приводит к гибели деревьев, находящихся справа от основного языка Малого Актура). Гибель деревьев в правой части морены ледника в конце XVIII – начале XIX вв., связана, по нашему мнению, с активностью его правого притока [15]. Как видно из представленных данных, радиоуглеродное датирование, в силу особенностей метода, вносит значительную неопределенность в конечные выводы и может использоваться лишь как оценка возраста в первом приближении. Дендрохронологические даты, даже с учетом неизбежной потери части внутренних и внешних колец, согласованы гораздо лучше и точнее на порядок величины. Поэтому, при наличии древесного материала необходимого качества, дендрохронологическое датирование предпочтительнее.

**Заключение.** Основные результаты нашей работы можно сформулировать следующим образом:

- содержание климатического сигнала в древесно-кольцевых хронологиях кедра сибирского в Центральном Алтае оценивается как низкое, поэтому признается нецелесообразность реконструкций летних температур при наличии других долгоживущих и более климаточувствительных пород деревьев (в частности *Larix sibirica*);
- наличие устойчивой связи в радиальном приросте кедра на значительной части территории Центрального Алтая указывает на большой потенциал дендрохронологического датирования;
- изучение противоречий, связанных с датами, полученными разными методами, показывает необходимость применения комплексного подхода в изучении процессов морфолитогенеза в горах, а также знания допущений и неопределённостей каждого из используемых методов датирования.

Несомненно, что представленная работа нуждается в продолжении. Необходимо провести улучшение, продление и расширение уже существующей сети хронологий. Это позволит увеличить вероятность датирования событий удалённые в прошлое более чем на тысячелетие и даст исследователям новый инструмент в изучении процессов экзогенного рельефообразования на Алтае.

## СПИСОК ЛИТЕРАТУРЫ

1. Адаменко М. Ф., Сюбаев А. А. Динамика климата на территории Горного Алтая в XV – XX веках по данным дендрохронологии // Вопросы горной гляциологии. Томск: Изд-во ТГУ, 1977. С. 196–202.
2. Адаменко М.Ф. Реконструкция динамики термического режима летних месяцев и оледенения на территории Горного Алтая в XIV – XX веках: авто-реф. канд. геогр. наук. Новосибирск, 1985. 16 с.
3. Бочаров А.Ю. Структура кедровых древостоев в высокогорьях Центрального Алтая. Автореф. дисс. к.г.н. Красноярск, 2009. 23 с.
4. Быков Н.И. Дендрогеоморфология Алтая // Геоморфология гор и предгорий. Барнаул: Изд-во АГУ, 2002. С. 41–48.
5. Воробьёв В.Н., Савчук Д.А. Радиальный прирост и заложение женских шишек кедра сибирского в условиях субальпийского пояса Центрального Алтая // Проблемы реконструкции климата и природной среды голоценена и плейстоцена Сибири. Вып. 1. 2002. С. 79–82. Новосибирск: Изд-во ИАиЭ СО РАН.
6. Воробьёв В.Н., Бочаров А.Ю., Хуторной О.В., Нарожный Ю.К. Дендроклиматический анализ радиального прироста кедра сибирского (*Pinus Sibirica*) в горно-ледниковом бассейне Актура (Центральный Алтай) // Основные закономерности глобальных и региональных изменений климата и природной среды в позднем кайнозое Сибири. 2002. Вып. 1. С. 71–78. Новосибирск: Изд-во ИАиЭ СО РАН.
7. Галахов В.П., Назаров А.Н., Харламова Н.Ф. Колебания ледников и изменения климата в позднем голоцене по материалам исследований ледников и ледниковых отложений бассейна Актура (Центральный Алтай, Северо-Чуйский хребет). Барнаул: Изд-во Алт. ун-та. 2005. 132 с.
8. Душкин М. А. Многолетние колебания ледников Актура и условия развития молодых морен // Гляциология Алтая. 1965 б. Вып. 4. Томск: Изд-во ТГУ, С. 83–101.
9. Ивановский Л.Н., Панычев В.А., Орлова Л.А. Возраст конечных морен стадий “Актура” и “Исторической” ледников Алтая // Поздний плейстоцен и голоцен юга Восточной Сибири. Новосибирск: Наука, 1982. С. 57–64.
10. Ивановский Л.Н., Панычев В.А. Развитие и возраст конечных морен XVII–XIX вв. ледников Ак-Туру на Алтае // Процессы современного рельефообразования в Сибири. Иркутск: Наука, 1978. С. 127–138.
11. Каталог ледников СССР. Т. 15. Алтай и Западная Сибирь. Вып. 1. Горный Алтай и Верхний Иртыш. Ч. 5. Долина Аргута. Ленинград: Гидрометеоиздат, 1977.
12. Королева Т.В. Оценка снежности и лавинной опасности Алтая в среднем масштабе: Автореф. дис. ... канд. геогр. наук. М., 1993. 23 с.
13. Кравцова В.И. Особенности режима лавинной деятельности на Алтае по данным дендрохронологических наблюдений // Фитоиндикационные методы в гляциологии. М., 1971. С. 103–123.
14. Мыглан В.С., Ойдууаа О.Ч., Кирдянов А.В., Ваганов Е.А. 1929-летняя древесно-кольцевая

- хронология для Алтая-Саянского региона (западная Тува) //Археология, этнография и антропология Евразии. № 4 (36), Новосибирск: Изд-во ИАиЭ СО РАН, 2008. С. 25–31.
15. Назаров А.Н., Агатова А.Р. Динамика ледников Северо-Чуйского хребта на Центральном Алтае во второй половине голоцен. МГИ, Вып. 105. 2008. С. 73–86.
  16. Нарожный Ю.К., Осипов А.В. Ореклиматические условия оледенения Центрального Алтая. Изв. РГО, Т. 131. Вып. 3. 1999. С. 49–57.
  17. Овчинников Д.В. Реконструкция изменений климата гор Алтая дендрохронологическими методами. Автореф. дисс. к.г.н. Иркутск. 2002. 18 с.
  18. Панюшкина И.П., Адаменко М.Ф., Овчинников Д.В. Дендроклиматическая сеть Горного Алтая как основа количественной палеогеографической реконструкции климата с высоким временным разрешением // Проблемы реконструкции климата и природной среды голоцена и плейстоцена Сибири. Новосибирск: Изд-во ИАиЭ СО РАН, Вып. 2. 2002. С. 413–419.
  19. Ревякин В.С., Кравцова В.И. Снежный покров и лавины Алтая. Томск: Изд-во том-го ун-та, 1977. 216 с.
  20. Рельеф Алтая-Саянской горной области / Под ред. Чернова Г.А., Вдовина В.В., Окишева П.А., Петкевича М.В., Милюкова А.А., Зятьковой Л.К., Миляевой Л.С. Новосибирск: Наука, 1988. 207 с.
  21. Самойлова Г.С., Авессаломова И.А., Снытко В.А. Концепция физико-географического районирования как обоснование региональной дифференциации трансграничных территорий гор Южной Сибири. Мир науки, культуры, образования. № 5(12). 2008. С. 20–25.
  22. Сурнаков И.В. Некоторые результаты фитоиндикации нивально-гляциальных процессов на Алтае. Роль нивально-гляциальных образований в динамике горных экосистем: Тез. докл. Всесоюз. конф. Барнаул, 1985. С. 35–36.
  23. Тронов М.В., Лупина Н.Х., Тронова Л.Б. О совместных исследованиях снеговой линии и границы леса в горно-ледниковых бассейнах // Материалы научной конференции “Проблемы гляциологии Алтая”. Вып. 2. Томск: Изд-во ТГУ. 1974. С. 3–21.
  24. Cook E.R., Kairiukstis L. Methods of Dendrochronology: applications in environmental sciences. Dordrecht; Boston; L.: Kluwer Acad. Publ. 1990. 394 p.
  25. Cook E.R., Krusic P.J. A Tree-Ring Standardization Program Based on Detrending and Autoregressive time Series Modeling, with Interactive Graphics (ARSTAN). 2008: [Electronic resource]. Access code: <http://www.ldeo.Columbia.edu/res/fac/trl/public/publicSoftware.html>
  26. D'Arrigo R., Jacoby G., Pederson N., Cook E. 1728 year of Mongolian temperature variability inferred from a tree ring width chronology of Siberian pine // Geoph. Res. Lett. 2001. V. 28. № 3. P. 543–546.
  27. Holmes R.L. Computer-assisted quality control in tree-ring dating and measurement // Tree-ring bulletin. 1983. V. 44. P. 69–75.
  28. Rinn F. TSAP V3.5. Computer program for tree-ring analysis and presentation. Heidelberg: Frank Rinn Distribution, 1996. 264 p.
  29. Wigley T., Briffa K., Jones P. On the average value of correlated time series, with application in dendroclimatology and hydrometeorology // J. Clim. Appl. Met. 1984. V. 23. P. 201–213.

## Application of Siberian Cedar for Reconstruction of Climate and Geomorphological Events in Altai

A.N. Nazarov, V.S. Myglan

*Siberian Federal University*

Pleistocene 400-kyr paleoclimatic cyclicity presence are absent; b) the reports about the presence of the 400-kyr periodicity in paleoclimatic continental records are or erroneous, or not related with the eccentricity variations.